

УДК 539.376

## К ВОПРОСУ РАСЧЕТА И ПРОЕКТИРОВАНИЯ ЭЛЕМЕНТОВ КОНСТРУКЦИЙ ИЗ МОНОКРИСТАЛЛА

Симонян А.М.

Ա.Մ. Սիմոնյան

Միարյութենող պատրաստված կոնստրուկցիաների հաշվարկի և նախագծան ճամփար

Ներկա աշխատանքում լիսովկացիաների սահմանափակության հիման վրա դիտարկվում են բյուրեղային տառմեջների օպտիմալ օրինանացման հարցերը ծավալ և ձգվությունների համար. ինչպես նաև լողովակների համար, որոնք գունդում են ներդրված ճնշման ազդեցության վրա:

A.M. Simonian

On Calculation and Projection of Constructions Produced from Single Crystals

В последние годы определенный интерес проявляется к монокристаллам как к конструкционным материалам, что связано с отсутствием у них границ зерен, обычно являющихся очагами для третьей стадии ползучести и трещинообразования.

В настоящей работе на основе концепции скольжения дислокаций в системах скольжения, связанных с кристаллической структурой, анализируются вопросы оптимального ориентирования кристаллических осей гранецентрированного кубического монокристалла для изгибаемых и растягиваемых элементов, а также для труб, подверженных действию внутреннего давления. В качестве критерии для оценки работоспособности конструкций рассмотрены сдвигающие напряжения в системах скольжения, а также значения удруотной энергии скольжения. Показано, что у растянутых элементов изменение весущей способности в зависимости от ориентации кристаллических осей может достигать 45.5%.

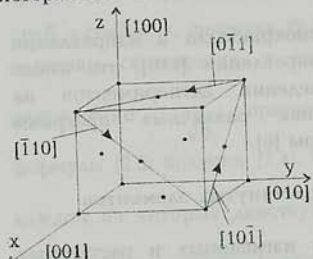
В последние десятилетия все большее внимание уделяется вопросам получения, исследования и применения металлических монокристаллов [1]. Вследствие отсутствия у монокристаллов границ зерен, которые являются очагами для третьей стадии ползучести и трещинообразования [2,3], монокристаллы в ряде случаев являются более надежными конструкционными материалами, чем аналогичные поликристаллы. Как отмечено в работе [4], монокристаллы в настоящее время используются для изготовления таких ответственных конструкций, как лопатки турбин в самолетостроении.

В настоящей работе анализируются вопросы оптимального ориентирования кристаллических осей гранецентрированного кубического монокристалла для изгибаемых и растягиваемых элементов и труб, подверженных действию внутреннего давления. В основе этих исследований положены теоретические предпосылки, изложенные в работе [5] и получившие экспериментальные подтверждения в работе [6].

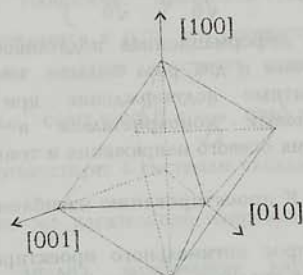
### 1. Основные теоретические положения

Как известно, монокристаллы отличаются от поликристаллов постоянством ориентации атомных плоскостей, что во всяком случае предопределяет анизотропию его деформационных и прочностных свойств [7]. Деформативность и прочность монокристаллов в известной мере определяются скольжением дислокаций в так называемых системах скольжений, представляющих собой совокупность плоскостей скольжения и направлений скольжения в этих плоскостях. Как отмечено, например, в работе [8], для гранецентрированных кубических

монокристаллов скольжение дислокаций имеет место, в основном, в системе плоскостей с нормалями  $\{111\}$  и в системе направлений  $\langle 110 \rangle$ , то есть в октаэдрических плоскостях и в направлениях вдоль ребер октаэдра (фиг.1 и 2), построенного, соответственно ориентации плоскостей монокристалла. Таким образом, для гранецентрированного кубического монокристалла имеется всего 12 систем скольжения, причем, как вытекает из предыдущего, системы скольжения не зависят от напряженного состояния монокристалла, а определяются лишь ориентацией его атомных плоскостей. Согласно принятым предпосылкам [5], скольжение дислокаций в некоторой системе скольжения зависит лишь от соответственного этой системе касательного напряжения и от истории его изменения во времени.



Фиг.1



Фиг.2

Соотношения между деформациями и напряжениями для гранецентрированного монокристалла при произвольном сложном напряженном состоянии запишутся так [5]:

$$\varepsilon_x = \frac{1}{\sqrt{6}} \sum_{i,j}^{1,2} \left\{ \Phi \left[ \frac{\sigma_x - \sigma_y + (-1)^i \tau_{yz} + (-1)^j \tau_{zx}}{\sqrt{6}} \right] + \Phi \left[ \frac{\sigma_x - \sigma_z + (-1)^i \tau_{xy} + (-1)^j \tau_{yz}}{\sqrt{6}} \right] \right\} \quad (x, y, z) \quad (1.1)$$

$$\gamma_{xy} = \frac{1}{\sqrt{6}} \sum_{i,j}^{1,2} \left\{ \Phi \left[ \frac{\tau_{xy} + (-1)^i \tau_{zx} + (-1)^j (\sigma_y - \sigma_z)}{\sqrt{6}} \right] + \Phi \left[ \frac{\tau_{xy} + (-1)^i \tau_{yz} + (-1)^j (\sigma_x - \sigma_z)}{\sqrt{6}} \right] \right\} \quad (x, y, z) \quad (1.2)$$

где суммирование производится по всем комбинациям  $i$  и  $j$ , принимающим значения 1 и 2,  $x, y$  и  $z$  совпадают с осями  $[001]$ ,  $[101]$  и  $[100]$ , соответственно,  $\Phi$  - оператор по времени, определяющий скольжение дислокаций в любой системе скольжения (все системы скольжения адекватны), выражения для  $\varepsilon_x, \varepsilon_z, \gamma_{xy}$  и  $\gamma_{xz}$  могут быть получены из (1.1) и (1.2) путем последовательной перестановки индексов  $x, y, z$ .

Определение оператора  $\Phi$  может быть осуществлено из экспериментов на растяжение образцов, продольная ось которых совпадает, например, с осью  $z$  или, что то же,  $[100]$ ; деформационные свойства такого образца, согласно (1.1) соответствуют соотношению

$$\varepsilon_z(t) = \frac{8}{\sqrt{6}} \Phi \left[ \frac{\sigma_z(t)}{\sqrt{6}} \right] \quad (1.3)$$

Естественно, в условиях нагружения, когда реологические свойства не проявляются, оператор  $\Phi$  вырождается в коэффициент, описывающий упругие свойства материала, связанные со скольжением дислокаций. В случае, когда растягивающее напряжение имеет направление [110], то деформация монокристалла в этом же направлении, согласно соотношениям (1.1) и (1.2), определяется по формуле [5].

$$\varepsilon_{[110]}(t) = \frac{4}{\sqrt{6}} \Phi \left[ \frac{\sigma_{[110]}(t)}{\sqrt{6}} \right] \quad (1.4)$$

то есть деформационная податливость монокристалла в направлении [100] ровно в два раза больше, чем в направлении [110], что имело многократные подтверждения при проведении экспериментов на алюминиевых монокристаллах в условиях различных программ изменения осевого напряжения и температуры [6].

## 2. К проектированию изгибающихся и растянутых элементов

Вопрос оптимального проектирования изгибающихся и растянутых элементов сводится к выбору такой ориентации структуры, при которой наибольшее из касательных напряжений, возникающих в системах скольжения, является минимальным из всех ориентаций или же минимальной является потенциальная энергия деформации в наиболее нагруженной точке. Итак, положим, что ось  $\xi$ , вдоль которой действует нормальное напряжение  $\sigma_\xi$ , составляет углы  $\alpha$ ,  $\beta$  и  $\delta$ , соответственно с осями [001], [010] и [100], при этом очевидно,

$$\sigma_x = \sigma_\xi \cos^2 \alpha, \quad \sigma_y = \sigma_\xi \cos^2 \beta, \quad \sigma_z = \sigma_\xi \cos^2 \delta \quad (2.1)$$

$$\tau_{xy} = \sigma_\xi \cos \alpha \cos \beta, \quad \tau_{yz} = \sigma_\xi \cos \beta \cos \delta, \quad \tau_{zx} = \sigma_\xi \cos \delta \cos \alpha$$

При использовании равенства

$$\begin{aligned} \varepsilon_\xi &= \varepsilon_x \cos^2 \alpha + \varepsilon_y \cos^2 \beta + \varepsilon_z \cos^2 \delta + \gamma_{xy} \cos \alpha \cos \beta + \\ &+ \gamma_{yz} \cos \beta \cos \delta + \gamma_{zx} \cos \delta \cos \alpha \end{aligned} \quad (2.2)$$

из соотношений (1.1) и (1.2) получим следующее соотношение между  $\varepsilon_\xi$  и  $\sigma_\xi$ , определяющее анизотропию монокристалла:

$$\begin{aligned} \varepsilon_\xi(t) &= \frac{1}{\sqrt{6}} \sum_{i,j}^{1,2} \left\{ (\cos \alpha + (-1)^i \cos \beta)(\cos \alpha - (-1)^i \cos \beta + (-1)^j \cos \delta) \times \right. \\ &\times \Phi \left[ \frac{\sigma_\xi(t)}{\sqrt{6}} (\cos \alpha + (-1)^i \cos \beta)(\cos \alpha - (-1)^i \cos \beta + (-1)^j \cos \delta) \right] + \\ &+ (\cos \beta + (-1)^i \cos \delta)(\cos \beta - (-1)^i \cos \delta + (-1)^j \cos \alpha) \times \\ &\times \Phi \left[ \frac{\sigma_\xi(t)}{\sqrt{6}} (\cos \beta + (-1)^i \cos \delta)(\cos \beta - (-1)^i \cos \delta + (-1)^j \cos \alpha) \right] + \\ &+ (\cos \delta + (-1)^i \cos \alpha)(\cos \delta - (-1)^i \cos \alpha + (-1)^j \cos \beta) \times \end{aligned}$$

$$\times \Phi \left[ \frac{\sigma_\xi(t)}{\sqrt{6}} (\cos\delta + (-1)^i \cos\alpha) (\cos\delta - (-1)^i \cos\alpha + (-1)^j \cos\beta) \right] \Bigg\}$$

Формула (2.3) является основой для выбора ориентации осей кристалла в отношении к направлению нормального напряжения. Варьируя углы  $\alpha, \beta$  и  $\delta$  (при естественном ограничении  $\cos^2 \alpha + \cos^2 \beta + \cos^2 \delta = 1$ ), можно изменять напряжения сдвига, соответствующие той или иной системе скольжения и численно равные выражениям в квадратных скобках (2.3), а также в некоторых случаях изменять количество систем скольжения, в которых скольжение происходит при действии  $\sigma_\xi$ . Например, принимая  $\cos\alpha = 1$ ,

$\cos\beta = \cos\delta = 0$ , формула (2.3) вырождается в (1.3), что соответствует 8 системам скольжения, в каждой из которых действует касательное

напряжение  $\frac{\sigma_\xi}{\sqrt{6}}$ ; принимая же  $\cos\alpha = \cos\beta = \frac{1}{\sqrt{2}}$ ,  $\cos\delta = 0$ , из

формулы (2.3) получим (1.4), что соответствует 4 системам скольжения, в каждой из которых действует такое же касательное напряжение  $\frac{\sigma_\xi}{\sqrt{6}}$ .

отметим, что, как показывает анализ, наибольшее касательное напряжение из возникающих в системах скольжения может достигать

значения  $\frac{\sigma_\xi}{2} (\cos\alpha = 0.90515, \cos\beta = \frac{1}{6}, \cos\delta = \sqrt{1 - \cos^2 \alpha - \cos^2 \beta})$ .

Принимая направление  $\xi$ , совпадающее с осью [111], получим, что напряжение сдвига в 6 системах скольжения достигает значения

$\frac{2\sigma_\xi}{3\sqrt{6}} = 0.27217\sigma_\xi$ , в остальных же - напряжения сдвига не возникают.

этот случай является самым благоприятным. отметим, что он соответствует минимальной энергии деформации.

Таким образом, при варьировании ориентации  $\xi$  наибольшие касательные напряжения в системах скольжения могут изменяться в пределах от  $0.27217\sigma_\xi$  до  $0.5\sigma_\xi$ , при этом, в случае ориентации [111] они на 45.5% ниже возникающих в наиболее неблагоприятном случае ( $\tau_{\max} = 0.5\sigma_\xi$ ).

Естественно, здесь возникает вопрос о том, насколько точно должна быть обеспечена ориентация [111] и как неточность ориентации влияет на наибольшие напряжения сдвига в системах скольжения. Простейшие расчеты показывают, что если имеется место отклонения в ориентации кристаллографических осей в пределах  $1^\circ$ , то максимальное напряжение сдвига в системах скольжения может увеличиться на 4.92%,

если же в пределах  $2^\circ$ , то увеличение составит 9.89% от значения  $\frac{2\sigma_\xi}{3\sqrt{6}}$ .

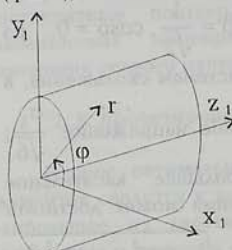
Это предопределяет требования к точности ориентации [111] в отношении к предельной оси.

### 3. Оптимальное проектирование труб с внутренним давлением

Рассматриваются круглые тонкостенные цилиндрические трубы, подверженные действию внутреннего давления при наличии и при отсутствии днищ; исследуются три ориентации продольной оси трубы [100], [110] и [111], не приводящие к скосу трубы.

#### 3.1 Трубы с днищами

Независимо от конструкции закреплений труб с днищами, здесь предполагается, что продольная осевая нагрузка передается труbe, при этом  $\sigma_{\phi} = \frac{qR}{\delta}$ ,  $\sigma_z = \frac{qR}{2\delta}$ ,  $\sigma_r = 0$  ( $\delta$  - толщина,  $q$  - внутреннее давление,  $R$  - радиус трубы;  $r, \phi, z_1$  - оси цилиндрической системы координат (фиг.3)). Соответственно, в системе координат  $(x_1, y_1, z_1)$  будем иметь



Фиг.3

$$\sigma_{x_1} = \frac{qR}{\delta} \sin^2 \phi, \quad \sigma_{y_1} = \frac{qR}{\delta} \cos^2 \phi,$$

$$\tau_{x_1 y_1} = \frac{qR}{\delta} \sin \phi \cos \phi, \quad \sigma_{z_1} = \frac{qR}{2\delta}, \quad \tau_{x_1 z_1} = \tau_{y_1 z_1} = 0$$

a) Ориентация продольной оси трубы вдоль оси [100]. Принимая, что оси  $x_1, y_1$  и  $z_1$  совпадают соответственно с осями  $x, y$  и  $z$ , соотношения (1.1) и (1.2) перепишем так:

$$\varepsilon_x = -\frac{4}{\sqrt{6}} \Phi \left[ 2A \frac{\cos 2\phi}{\sqrt{6}} \right] - \frac{2}{\sqrt{6}} \left\{ \Phi \left[ A \frac{\cos 2\phi + \sin 2\phi}{\sqrt{6}} \right] - \Phi \left[ A \frac{\cos 2\phi - \sin 2\phi}{\sqrt{6}} \right] \right\}$$

$$\varepsilon_y = \frac{4}{\sqrt{6}} \Phi \left[ 2A \frac{\cos 2\phi}{\sqrt{6}} \right] + \frac{2}{\sqrt{6}} \left\{ \Phi \left[ A \frac{\cos 2\phi - \sin 2\phi}{\sqrt{6}} \right] + \Phi \left[ A \frac{\cos 2\phi + \sin 2\phi}{\sqrt{6}} \right] \right\}$$

$$\varepsilon_z = \frac{2}{\sqrt{6}} \left\{ \Phi \left[ \frac{A}{\sqrt{6}} (-\cos 2\phi - \sin 2\phi) \right] + \Phi \left[ \frac{A}{\sqrt{6}} (-\cos 2\phi + \sin 2\phi) \right] + \right.$$

$$\left. + \Phi \left[ \frac{A}{\sqrt{6}} (\cos 2\phi - \sin 2\phi) \right] + \Phi \left[ \frac{A}{\sqrt{6}} (\cos 2\phi + \sin 2\phi) \right] \right\} = 0$$

$$\gamma_{xy} = \frac{4}{\sqrt{6}} \Phi \left[ A \frac{\cos 2\phi + \sin 2\phi}{\sqrt{6}} \right] + \frac{4}{\sqrt{6}} \Phi \left[ A \frac{\sin 2\phi - \cos 2\phi}{\sqrt{6}} \right] \quad (3.2)$$

$$\gamma_{yz} = \frac{1}{\sqrt{6}} \sum_{i,j}^{1,2} \Phi \left[ \frac{A}{\sqrt{6}} ((-1)^i \sin 2\phi + (-1)^j \cos 2\phi) \right] + \frac{2}{\sqrt{6}} \sum_i^{1,2} \Phi \left[ \frac{2A}{\sqrt{6}} (-1)^i \cos 2\phi \right] = 0$$

$$\gamma_{zx} = \frac{1}{\sqrt{6}} \sum_{i,j}^{1,2} \Phi \left[ \frac{A}{\sqrt{6}} ((-1)^i \sin 2\phi + (-1)^j \cos 2\phi) \right] + \frac{2}{\sqrt{6}} \sum_i^{1,2} \Phi \left[ \frac{2A}{\sqrt{6}} (-1)^i \cos 2\phi \right] = 0$$

где  $A = \frac{qR}{2\delta}$ . Деформации  $\varepsilon_z, \gamma_{yz}$  и  $\gamma_{zx}$  равны нулю, вследствие очевидного тождества  $\Phi(-f(t)) = -\Phi(f(t))$ .

Наибольшее касательное напряжение, которое возникает в какой-либо из систем скольжения, как это вытекает из (3.2), равно

$$\frac{2A}{\sqrt{6}} \approx 0.8165A.$$

Положим, что деформация сдвига, как результат скольжения в некоторой системе скольжения, определяется некоторым упругим модулем  $G_0$ :  $\Phi(x) = \frac{x}{G_0}$ . При этом получим следующее выражение для энергии  $\Pi(\phi)$  деформаций, связанных со скольжением во всех системах скольжения:

$$\Pi(\phi) = \frac{2}{3} \frac{A^2}{G_0} (2 + \cos 4\phi)$$

Усредненное и наибольшее значения  $\Pi$  определяются так:

$$\Pi_{\text{ср}} = \frac{1}{2\pi} \int_0^{2\pi} \Pi(\phi) d\phi = \frac{4}{3} \frac{A^2}{G_0} = 1.3333 \frac{A^2}{G_0}$$

$$\Pi_{\max} = 2 \frac{A^2}{G_0} \quad (3.3)$$

Если имеет место ползучесть, которая при действии постоянного напряжения  $\sigma$  в направлении [100] описывается формулой

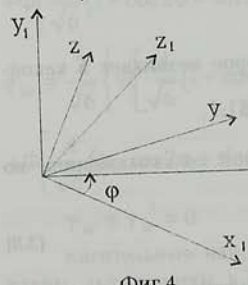
$$\varepsilon_{[100]} = \sigma^m F(t) \quad (3.4)$$

то, согласно (1.3), имеем  $\Phi(x) = \frac{(\sqrt{6})^{m+1}}{8} x^m F(t)$ .

Для энергии деформаций ползучести  $W$  получим нижеследующую формулу:

$$W = \frac{A^{m+1}}{2} F(t) \left[ |2 \cos 2\phi|^{m+1} + |\cos 2\phi + \sin 2\phi|^{m+1} + |\cos 2\phi - \sin 2\phi|^{m+1} \right] \quad (3.5)$$

б) Ориентация продольной оси трубы вдоль оси [110]. Положим, что кристаллические оси  $x$ ,  $y$  и  $z$  ориентированы следующим образом: ось  $x$  ([001]) перпендикулярна продольной оси трубы  $z_1$  и составляет угол  $\phi$  с осью  $x_1$  (фиг.4), а оси  $y$  ([010]) и  $z$  ([100]) составляют угол  $45^\circ$  с осью  $z_1$ .



Фиг.4

Согласно опускаемым здесь выкладкам и выражениям, аналогичным (3.1) и (3.2), получим, что наибольшее касательное напряжение, которое возникает в какой-либо системе скольжения, равно

$$\max_{\phi} \left[ \left( 2 \cos 2\phi + \frac{1}{\sqrt{2}} \sin 2\phi \right) \frac{A}{\sqrt{6}} \right] \approx 0.86602 A$$

Для энергии деформации, связанной с упругим скольжением во всех системах скольжения, получим

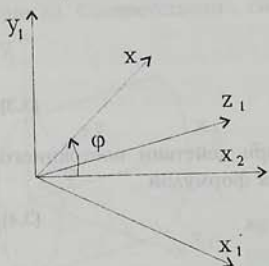
$$\Pi(\phi) = \frac{A^2}{6G_0} (7 + 3 \cos 4\phi)$$

$$\Pi_{\text{yep}} = \frac{1}{2\pi} \int_0^{2\pi} \Pi(\phi) d\phi = \frac{7}{6} \frac{A^2}{G_0} \approx 1.1666 \frac{A^2}{G_0} \quad (3.6)$$

$$\Pi_{\max} = \frac{5}{3} \frac{A^2}{G_0} \approx 1.6666 \frac{A^2}{G_0}$$

В случае ползучести, протекающей по степенному закону (3.4), для энергии деформации ползучести при постоянной нагрузке будем иметь

$$W = \frac{A^{m+1}}{4} F(t) \left[ \left| 2 \cos 2\phi - \frac{1}{\sqrt{2}} \sin 2\phi \right|^{m+1} + \left| 2 \cos 2\phi + \frac{1}{\sqrt{2}} \sin 2\phi \right|^{m+1} + \left| \cos 2\phi - \frac{1}{\sqrt{2}} \sin 2\phi \right|^{m+1} + \left| \cos 2\phi + \frac{1}{\sqrt{2}} \sin 2\phi \right|^{m+1} + \left| \sqrt{2} \sin 2\phi \right|^{m+1} \right] \quad (3.7)$$



Фиг.5

в) Ориентация продольной оси трубы вдоль оси [111].

Принимая, что ось  $z_1$  (фиг.5) совпадает с осью [111], получим, что она равно наклонена к осям  $x$ ,  $y$  и  $z$ . Положим, что ось  $x$  составляет с плоскостью, на которой расположены оси  $x_1$  и  $z_1$ , некоторый угол  $\Phi$ , при этом получим нижеследующие значения для косинусов углов между осями  $x$ ,  $y$ ,  $z$  и  $x_1$ ,  $y_1$ ,  $z_1$ :

$$\cos(x_1, x) = \sqrt{\frac{2}{3}} \cos \varphi, \quad \cos(x_1, y) = -\sqrt{\frac{2}{3}} \cos(\varphi - \frac{\pi}{3})$$

$$\cos(x_1, z) = -\sqrt{\frac{2}{3}} \cos(\varphi + \frac{\pi}{3}), \quad \cos(y_1, x) = \sqrt{\frac{2}{3}} \sin \varphi$$

$$\cos(y_1, y) = \sqrt{\frac{2}{3}} \cos(\varphi + \frac{\pi}{6}), \quad \cos(y_1, z) = -\sqrt{\frac{2}{3}} \cos(\varphi - \frac{\pi}{6})$$

$$\cos(z_1, x) = \cos(z_1, y) = \cos(z_1, z) = \frac{1}{\sqrt{3}}$$

Наибольшее касательное напряжение, которое возникает в какой-либо из систем скольжения, равно  $\frac{4}{3\sqrt{2}} A \approx 0.94281 A$ .

Для упругой энергии деформации, связанной со скольжением во всех системах скольжения, получим

$$\Pi(\varphi) \equiv \frac{20}{9} \frac{A^2}{G_0} \approx 2.2222 \frac{A^2}{G_0} \quad (3.8)$$

В случае же проявления ползучести, протекающей по степенному закону (3.4), для энергии деформации ползучести будем иметь следующее выражение:

$$W = \frac{A^{m+1} F(t)}{24} 6^{\frac{m}{2}} \left[ 2|4 \cos 2\varphi|^{m+1} + |2 \cos 2\varphi - 2\sqrt{3} \sin 2\varphi|^{m+1} + \right. \\ \left. + 2|2 \cos 2\varphi + 2\sqrt{3} \sin 2\varphi|^{m+1} + |4\sqrt{3} \sin 2\varphi|^{m+1} + \right. \\ \left. + |6 \cos 2\varphi - 2\sqrt{3} \sin 2\varphi|^{m+1} + |6 \cos 2\varphi + 2\sqrt{3} \sin 2\varphi|^{m+1} \right] \quad (3.9)$$

### 3.2 Трубы без днищ

Принимается, что продольная осевая сила в трубе не передается

$$\sigma_{\varphi} = \frac{qR}{\delta} \equiv 2A, \quad \sigma_{z_1} = \sigma_r = 0 \quad (\text{фиг. 3}), \text{ то есть}$$

$$\sigma_{x_1} = 2A \sin^2 \varphi, \quad \sigma_{y_1} = 2A \cos^2 \varphi, \quad \tau_{x_1 y_1} = 2A \sin \varphi \cos \varphi \quad (3.10)$$

$$\sigma_{z_1} = \tau_{x_1 z_1} = \tau_{y_1 z_1} = 0$$

a) Ориентация продольной оси трубы вдоль оси [100].

Принимая, что оси  $x_1, y_1$  и  $z_1$  совпадают соответственно с кристаллическими осями  $x, y$  и  $z$ , соотношения (1.1) и (1.2) перепишем так:

$$\varepsilon_x = -\frac{4}{\sqrt{6}} \Phi \left[ 2A \frac{\cos 2\varphi}{\sqrt{6}} \right] + \frac{2}{\sqrt{6}} \left\{ \Phi \left[ \frac{A}{\sqrt{6}} (1 - \cos 2\varphi + \sin 2\varphi) \right] + \right. \\ \left. + \Phi \left[ \frac{A}{\sqrt{6}} (1 - \cos 2\varphi - \sin 2\varphi) \right] \right\} \\ \varepsilon_y = \frac{4}{\sqrt{6}} \Phi \left[ 2A \frac{\cos 2\varphi}{\sqrt{6}} \right] + \frac{2}{\sqrt{6}} \left\{ \Phi \left[ \frac{A}{\sqrt{6}} (1 + \cos 2\varphi + \sin 2\varphi) \right] + \right. \\ \left. + \Phi \left[ \frac{A}{\sqrt{6}} (1 + \cos 2\varphi - \sin 2\varphi) \right] \right\} \\ \varepsilon_z = -\frac{2}{\sqrt{6}} \left\{ \Phi \left[ \frac{A}{\sqrt{6}} (1 - \cos 2\varphi + \sin 2\varphi) \right] + \Phi \left[ \frac{A}{\sqrt{6}} (1 - \cos 2\varphi - \sin 2\varphi) \right] + \right. \\ \left. + \Phi \left[ \frac{A}{\sqrt{6}} (1 + \cos 2\varphi + \sin 2\varphi) \right] + \Phi \left[ \frac{A}{\sqrt{6}} (1 + \cos 2\varphi - \sin 2\varphi) \right] \right\} \quad (3.11) \\ \gamma_{xy} = \frac{2}{\sqrt{6}} \left\{ \Phi \left[ \frac{A}{\sqrt{6}} (1 + \cos 2\varphi + \sin 2\varphi) \right] - \Phi \left[ \frac{A}{\sqrt{6}} (1 + \cos 2\varphi - \sin 2\varphi) \right] + \right. \\ \left. + \Phi \left[ \frac{A}{\sqrt{6}} (1 - \cos 2\varphi + \sin 2\varphi) \right] - \Phi \left[ \frac{A}{\sqrt{6}} (1 - \cos 2\varphi - \sin 2\varphi) \right] \right\} \\ \gamma_{yz} = \gamma_{zx} = 0$$

Касательные напряжения, соответствующие системам скольжения, равны выражениям в квадратных скобках (3.15), наибольшее из них равно

$$\max_{\varphi} \left[ \frac{A}{\sqrt{6}} (1 + \cos 2\varphi + \sin 2\varphi) \right] = \frac{A(1 + \sqrt{2})}{\sqrt{6}} \approx 0.98560 A.$$

что на 20.71% превышает соответственное касательное напряжение для труб с днищами.

Для энергии упругой деформации, связанный со скольжением во всех системах скольжения, ее усредненного и наибольшего значения будем иметь

$$\begin{aligned}\Pi(\phi) &= \frac{2}{3} \frac{A^2}{G_0} (3 + \cos 4\phi) \\ \Pi_{\text{уср}} &= \frac{1}{\pi} \int_0^\pi \Pi(\phi) d\phi = 2 \frac{A^2}{G_0} \\ \Pi_{\max} &= \frac{8}{3} \frac{A^2}{G_0} \approx 2.6667 \frac{A^2}{G_0}\end{aligned}\quad (3.12)$$

В случае ползучести, при действии постоянного напряжения  $\sigma$  в направлении [100] описывается формулой (3.4), для энергии деформации ползучести будем иметь

$$W = \frac{A^{m+1}}{4} F(t) \left[ 2|2\cos 2\phi|^{m+1} + |1 + \cos 2\phi + \sin 2\phi|^{m+1} + |1 - \cos 2\phi + \sin 2\phi|^{m+1} + |1 + \cos 2\phi - \sin 2\phi|^{m+1} + |1 - \cos 2\phi - \sin 2\phi|^{m+1} \right] \quad (3.13)$$

#### б) Ориентация продольной оси трубы вдоль оси [110].

Для напряжений, соответственных кристаллическим осям (фиг.4) будем иметь следующие выражения:

$$\sigma_x = A(1 - \cos 2\phi), \quad \sigma_y = \sigma_z = -\tau_{yz} = \frac{A}{2}(1 + \cos 2\phi) \quad (3.14)$$

$$\tau_{xy} = -\tau_{zx} = -\frac{\sqrt{2}}{2} A \sin 2\phi$$

Наибольшее касательное напряжение, возникающее в системах скольжения, достигается при  $\phi = \frac{1}{2} \operatorname{arctg} \frac{\sqrt{2}}{2}$  и равно

$$\tau_{\max} = \max_{\phi} \left[ \frac{A}{\sqrt{6}} \left( 1 + \cos 2\phi + \frac{\sqrt{2}}{2} \sin 2\phi \right) \right] = 0.90825 A$$

При этом будем иметь

$$\Pi(\phi) = \frac{A^2}{6G_0} (9 + 3\cos 4\phi - 4\cos 2\phi) \quad (3.15)$$

$$\Pi_{\text{уср}} = \frac{3}{2} \frac{A^2}{G_0}, \quad \Pi_{\max} = \frac{8}{3} \frac{A^2}{G_0}$$

В случае ползучести, описываемой (3.4), для энергии деформации будем иметь

$$W = \frac{A^{m+1}}{4} F(t) \left[ \left| 2\cos 2\phi - \frac{\sqrt{2}}{2} \sin 2\phi \right|^{m+1} + \left| 2\cos 2\phi + \frac{\sqrt{2}}{2} \sin 2\phi \right|^{m+1} + \dots \right]$$

$$+ \left| 1 - \cos 2\varphi + \frac{\sqrt{2}}{2} \sin 2\varphi \right|^{m+1} + \left| 1 - \cos 2\varphi - \frac{\sqrt{2}}{2} \sin 2\varphi \right|^{m+1} + \left| \sqrt{2} \sin 2\varphi \right|^{m+1} \right] \quad (3.16)$$

в) Ориентация продольной оси трубы вдоль оси [111].

Соответственно кристаллическим осям  $x$ ,  $y$  и  $z$  (фиг.5), аналогично (3.1), запишем следующие выражения для напряжений:

$$\begin{aligned} \sigma_x &= \frac{2}{3} A(1 - \cos 2\varphi), \quad \sigma_y = \frac{2}{3} A\left(1 + \frac{1}{2} \cos 2\varphi - \frac{\sqrt{3}}{2} \sin 2\varphi\right) \\ \sigma_z &= \frac{2}{3} A\left(1 + \frac{1}{2} \cos 2\varphi + \frac{\sqrt{3}}{2} \sin 2\varphi\right), \quad \tau_{xy} = \frac{1}{3} A(-1 + \cos 2\varphi + \sqrt{3} \sin 2\varphi) \\ \tau_{yz} &= -\frac{1}{3} A(1 + \cos 2\varphi), \quad \tau_{zx} = -\frac{1}{3} A(1 - \cos 2\varphi + \sqrt{3} \sin 2\varphi) \end{aligned} \quad (3.17)$$

Наибольшее касательное напряжение, возникающее в системах скольжения, равно  $\tau_{\max} = \frac{2\sqrt{2}}{3} A \approx 0.9428 A$ .

При этом будем иметь

$$\begin{aligned} \Pi(\varphi) &= \frac{A^2}{9G_0} (12 - 2\sqrt{3} \sin 2\varphi + \sqrt{3} \sin 4\varphi) \\ \Pi_{y\text{ср}} &= \frac{4}{3} \frac{A^2}{G_0} \\ \Pi_{\max} &= \Pi\left(\frac{2}{3}\pi\right) = \frac{11}{6} \frac{A^2}{G_0} \end{aligned} \quad (3.18)$$

В случае ползучести, описываемой (3.4), для энергии деформации будем иметь

$$\begin{aligned} W &= \frac{A^{m+1}}{8} F(t) \left[ 2 \left| \frac{2}{3} + \frac{4}{3} \cos 2\varphi \right|^{m+1} + \left| 2 \cos 2\varphi - \frac{2\sqrt{3}}{3} \sin 2\varphi \right|^{m+1} + \right. \\ &\quad + \left| 2 \cos 2\varphi + \frac{2\sqrt{3}}{2} \sin 2\varphi \right|^{m+1} + \left| 4 \frac{\sqrt{3}}{3} \sin 2\varphi \right|^{m+1} + \\ &\quad \left. + 2 \left| \frac{2}{3} - \frac{2}{3} \cos 2\varphi + \frac{2\sqrt{3}}{3} \sin 2\varphi \right|^{m+1} + 2 \left| \frac{2}{3} - \frac{2}{3} \cos 2\varphi - \frac{2\sqrt{3}}{3} \sin 2\varphi \right|^{m+1} \right] \end{aligned} \quad (3.19)$$

Ниже приводится сводная таблица расчетных данных для труб с ориентацией продольной оси [100], [110] и [111].

Из данных таблицы можно заключить, что из условия наибольших касательных напряжений в системах скольжения более благоприятными являются трубы с днищами, причем наибольшая несущая способность достигается при ориентации продольной оси трубы в направлении [100]; для труб без днищ наиболее благоприятной является ориентация [110]. Из энергетических же условий для труб с днищами благоприятной ориентацией продольной оси является [110], без днищ же — [111].

### Таблица

Ориента- ция продоль- ной оси	Наибольшие касательные напряжения		Максимальная упругая энергия $(x \frac{G_0}{A^2})$		Усредненная упругая энергия $(x \frac{G_0}{A^2})$	
	с дни- щами	без днищ	с дни- щами	без днищ	с дни- щами	без днищ
100	0.8165A	0.9856A	2.000	2.667	1.333	2.000
110	0.8543A	0.9082A	1.666	2.667	1.166	1.500
111	0.9428A	0.9428A	2.222	1.833	2.222	1.333

## ЛИТЕРАТУРА

1. Металлические монокристаллы. Получение и исследование свойств. – М.: Наука, 1976.
  2. Ползучесть и возврат. – М.: Металлургиздат, 1961.
  3. Keown S.R. Microstructural changes occurring during the creep deformation of a simple austenitic steel at 600°C. "Creep strength steel and high-temp. alloys. – Proc. Meet. Univ. Sheffield. 1972" London. 1974.
  4. Ishihara T. Strength of metal matrix composites for supersonic aeroplane engines. Composites. Fracture mechanics and technology. – Russian Composite Society. Chernogolovka, 1992.
  5. Симонян А.М., Симонян Н.М. К вопросу о реологии монокристаллов. – Изв. АН Арм.ССР, Механика, 1985, т. 38, №4, с.38-48.
  6. Симонян А.М. Исследования ползучести алюминиевых монокристаллов. – Изв. АН Арм.ССР, Механика, 1979, т. 32, №6, с.27-40.
  7. Амбарцумян С.А. Теория анизотропных пластин. – М.: Наука, 1967.
  8. Чалмерс Б. Физическое металловедение. – М.: Металлургиздат, 1963.

Институт механики  
НАН Армении

Поступила в редакцию  
17.08.1995